

El algoritmo del factor truncado en base cuatro*

**** IVAN CASTRO CHADID
FABIO MOLINA FOCAZZIO
YOLIMA UMAÑA HERNANDEZ
DIONICIO VILLALBA ALDANA
ALVARO DUQUE HOYOS, S.J.**

“El Teorema de Fourier no es solamente uno de los resultados más hermosos del análisis moderno, sino que puede decirse además que proporciona un instrumento indispensable en el tratamiento de casi todas las cuestiones de la física moderna, por recónditas que sean”.

*Lord Kelvin
[Sir William Thompson (1824-1907)]*

RESUMEN

Se presenta un algoritmo que permite calcular la Transformada discreta de Fourier para $N = 4^m$ datos, utilizando tan solo $(m-1)4^m$ multiplicaciones complejas, siendo este valor inferior al del número de operaciones que requiere el conocido algoritmo de Cooley-Tukey ($m4^m$). Se realizan además comparaciones entre el tiempo de ejecución de la Transformada Discreta de Fourier, empleando los algoritmos de Cooley-Tukey y el del factor truncado, para algunos valores, observándose que a medida que el número de datos aumenta, disminuye a menos de la mitad el tiempo de ejecución del nuevo algoritmo. Se presenta además el diagrama de flujo y el programa en lenguaje BASIC.

* Trabajo presentado para el Coloquio Distrital de Matemáticas y Estadística. U. Distrital Francisco José de Caldas. Nov. 1980.

** Seminario de Investigación en Transformada Rápida de Fourier. Departamento de Matemáticas. Facultad de Ciencias. Pontificia Universidad Javeriana.

INTRODUCCION

Uno de los tópicos de mayor vigencia en el campo de la matemática aplicada es el relativo al estudio de los métodos rápidos para calcular la transformada discreta de Fourier, ya que ésta es protagonista de primer orden cuando se trata de realizar cálculos relativos a problemas de la más variada y mayor actualidad; baste señalar por ejemplo los siguientes:

- a) En 1953 gracias a las técnicas de difracción de rayos X y a la transformada de Fourier, se descubrió la forma de la doble hélice del ADN.
- b) Recientemente se ha logrado conocer la estructura de otras biomoléculas y de algunos virus.
- c) La NASA la está empleando para mejorar la calidad y detalle de las imágenes de los objetos celestes tomadas en el espacio.
- d) Es básica en física de plasmas, en física de semiconductores, en acústica de microondas, en sismografía, oceanografía, en cartografía por medio del radar y en confección de imágenes en medicina.
- e) Entre las muchas aplicaciones a la química tenemos el espectrómetro de transformación de Fourier utilizado en análisis químico.
- f) Gracias a los trabajos de Ronald L. Bracewell (U. Standord 1956) se logró, utilizando la transformada de Fourier, una importante vía para la reconstrucción de imágenes conocida hoy con el nombre de Reconstrucción Tomográfica; algunos años después el mismo Bracewell creó el denominado "algoritmo modificado de proyección retrográfica" empleando ampliamente hoy en día en la tomografía por rayos X computarizada o Escáner TAC.
- g) Gracias al empleo de la transformada de Fourier se logró la primera antena con resolución más fina que el ojo humano, la cual ha sido fundamental para la confección de los mapas solares.

En 1965 James W. Cooley (Centro de Investigaciones Thomas J. Watson de la IBM) y John W Tukey (Laboratorios Bell) desarrollaron un programa para calcular con un menor número de operaciones la transformada discreta de Fourier. Este programa fue denominado **Fast Fourier Transform F.F.T.** (Transformada rápida de Fourier) [6]. En 1971 A. Schönhage y V. Strassen demostraron matemáticamente que la complejidad en la multiplicación de dos números puede ser sólo ligeramente superior a la de la adición; estos hechos llevaron a corroborar en forma práctica un principio fundamental de la informática teórica y es que muchos de los algoritmos que nos son familiares, como por ejemplo, la regla de multiplicación que se enseña a los niños en los cursos de aritmética,

distan de ser los óptimos. Tampoco es cierto que si se trabajan los números en base 10 se tenga la mayor eficiencia operativa, una prueba de ello lo dan las más de 100.000.000 de cifras significativas del desarrollo decimal de π que se obtuvieron en 1987, al emplear la F.F.T. en un algoritmo debido a Jonathan M. Borwein y Peter B. Borwein. Desde la perspectiva de los primeros años de la década de 1970, generar tal cantidad de cifras hubiera sido una utopía ya que los factores fundamentales para realizar estos cálculos eran la fórmula y la velocidad de la máquina y poco intervenían la forma de operar y la base numérica sobre la cual estaban trabajando.

Ejemplos como el anterior, justificaron la necesidad de refinar cada vez más los procedimientos para calcular la transformada discreta de Fourier, empleando bases numéricas apropiadas que permitieran hacer no sólo menos operaciones sino que también, disminuyeran su complejidad.

El propósito de este artículo es difundir un algoritmo que, como lo veremos, es mucho más eficiente que el debido a Cooley-Tukey.

Sabemos que la Transformada Discreta de Fourier es un operador que transforma señales digitales periódicas con dominio temporal, en señales digitales periódicas con dominio frecuencial, de modo tal que el período de ambas señales, la original y la transformada, se mantiene invariable.

Si N es el período de la señales digitales con dominio temporal

$$x[0], x[1], \dots, x[N-1]$$

debemos calcular las correspondientes señales digitales con dominio frecuencial

$$X[0], X[1], \dots, X[N-1]$$

sabiendo que $\forall n = 0, \dots, N-1$

$$x[n] = \sum_{k=0}^{N-1} x[k] w^{nk}$$

$$\text{con } w = e^{-\frac{2\pi i}{N}}$$

A diferencia del algoritmo de Cooley-Tukey, en éste vamos a suponer que $N = 4^m$. Sean

$$H = \left\{ \sum_{j=0}^{m-1} n_j 4^j \mid n_j = 0, 1, 2, 3 \right\} \text{ y } T = \{0, 1, \dots, N-1\}$$

Es claro que:

a) H tiene N elementos.

b) Si $h \in H$, entonces existen n_0, n_1, \dots, n_{m-1} enteros positivos menores que cuatro tales que

$$h = \sum_{j=0}^{m-1} n_j 4^j$$

como $n_j < 3 \forall j$, entonces

$$h \leq 3 \sum_{j=0}^{m-1} 4^j \leq 4^m - 1.$$

De lo anterior se desprende que $h \in T$. Por lo tanto $H \subseteq T$.

Como T también tiene N elementos, entonces $H = T$.

Por otra parte, el algoritmo de la división nos permite concluir que si

$$\sum_{j=0}^{m-1} n_j 4^j = \sum_{j=0}^{m-1} r_j 4^j, \text{ entonces, } n_j = r_j \quad \forall j=0, \dots, m-1.$$

Lo anterior nos conduce a identificar los conjuntos.

$$\{x[n] \mid n = 0, 1, \dots, N-1\} \quad y$$

$$\{x[n_{m-1}, n_{m-2}, \dots, n_1, n_0] \mid n_j = 0, 1, 2, 3 \quad \forall j=0, \dots, m-1\}$$

De donde, la suma (1) puede escribirse en la forma

$$x[n_{m-1}, n_{m-2}, \dots, n_0] = \sum_{k_0=0}^3 \sum_{k_1=0}^3 \dots \sum_{k_{m-1}=0}^3 x[k_{m-1}, \dots, k_1, k_0] w^{nk}$$

siendo

$$n = n_0 + n_1 4 + n_2 4^2 + n_3 4^3 + \dots + n_{m-1} 4^{m-1} \quad y$$

$$K = K_{m-1} 4^{m-1} + K_{m-2} 4^{m-2} + K_{m-3} 4^{m-3} + K_{m-4} 4^{m-4} + \dots + K_1 4 + K_0$$

En forma similar a como sucede con otros algoritmos, la clave de éste radica en la manera como se multiplican n y K , la cual se indica a continuación:

$$nK = 4^{m-1} n_0 K_{m-1} + 4^{m-2} n_0 K_{m-2} +$$

$$+ 4^{m-1} n_1 K_{m-2} + 4^{m-3} (n_0 + n_1 4) K_{m-3} +$$

$$+ 4^{m-1} n_2 K_{m-3} + 4^{m-4} (n_0 + n_1 4 + n_2 4^2) K_{m-4} +$$

$$+ 4^{m-1} n_{j-1} K_{m-j} + 4^{m-(j+1)} (n_0 + n_1 4 + \dots + n_{j-1} 4^{j-1}) K_{m-(j+1)} +$$

⋮

$$+ 4^{m-1} n_{m-2} K_1 + (n_0 + n_1 4 + \dots + n_{m-2} 4^{m-2}) K_0 +$$

$$+ 4^{m-1} n_{m-1} K_0 + R$$

en donde R es un múltiplo de N.

Como $w^R = 1$ y $w^{N-1} = -1$, podemos afirmar que este algoritmo se reduce a resolver, para cada $n = 0, \dots, N-1$, el siguiente sistema, en donde $x_0 = x$:

$$x_1[n_0, n_{m-2}, \dots, n_0] = \sum_{k_{m-1}=0}^3 x_0[k_{m-1}, k_{m-2}, \dots, k_0] (-1)^{n_0 k_{m-1}} \cdot 4^{m-2} n_0 k_{m-2}$$

$$x_j^{(n_0, n_1, n_2, \dots, n_{j-1})} = \left(\sum_{k_0=0}^{n_0-1} x_j^{(n_0, k_0, n_2, \dots, n_{j-1})} (-1)^{k_0 n_2} \right) \omega^{k_0 (n_0 n_2) k_1 n_3}$$

$$x_j^{(n_0, \dots, n_{j-1}, n_{j+1}, \dots, n_m)} = \left(\sum_{k_{j-1}=0}^{n_{j-1}-1} x_j^{(n_0, \dots, n_{j-2}, k_{j-1}, \dots, n_m)} (-1)^{k_{j-1} n_{j+1}} \right) \omega^{k_{j-1} n_{j+1} \left(\sum_{l=0}^{j-1} n_l 4^l \right) k_{j+1}}$$

$$x_{j-1}^{(n_0, \dots, n_{j-2}, n_j)} = \left(\sum_{k_{j-2}=0}^{n_{j-2}-1} x_j^{(n_0, \dots, n_{j-3}, k_{j-2}, n_j)} (-1)^{k_{j-2} n_j} \right) \omega^{k_{j-2} n_j \left(\sum_{l=0}^{j-2} n_l 4^l \right) k_j}$$

$$x_j^{(n_0, \dots, n_{j-2}, n_{j-1})} = \sum_{k_{j-1}=0}^{n_{j-1}-1} x_j^{(n_0, \dots, n_{j-2}, k_{j-1})} (-1)^{k_{j-1} n_j}$$

$$x_j^{(n_{j-1}, \dots, n_1, n_0)} = x_j^{(n_0, n_1, \dots, n_{j-1})}$$

Examinemos la ecuación J-ésima.

Si llamamos $K = \sum_{h=0}^{m-j-1} K_h 4^h$, $L = n_{j-1}$, $T = \sum_{h=0}^{j-2} n_{j-2-h} 4^h$

podemos escribir esta ecuación de la siguiente manera:

$$x_j^{(T 4^{j-1} + L 4^j + K)} = \left(x_{j-1}^{(T 4^{j-1} + K)} + (-1)^L x_{j-1}^{(T 4^{j-1} + 2 \cdot 4^j + K)} \right) \cdot \left(x_{j-1}^{(T 4^{j-1} + 2 \cdot 4^j + K)} + (-1)^L x_{j-1}^{(T 4^{j-1} + 4^j + K)} \right) \omega^{L T}$$

siendo* $S = -\frac{\pi}{8} \text{INT}(K/4^{m-j-1}) (L + 4^{-j+1} \text{INVC}(T))$.

Las variaciones posibles de los parámetros son:

$$K = 0, \dots, 4^{m-1} - 1, T = 0, 1, \dots, 4^{j-1} - 1 \text{ y } L = 0, 1, 2, 3.$$

Si organizamos adecuadamente esta ecuación, podemos darnos cuenta que para K, L y T fijos, vamos a realizar sólo una multiplicación compleja por cada $J = 1, \dots, m-1$, de donde el número total de multiplicaciones complejas que debemos efectuar es:

$$(m-1)4^m$$

Si comparamos este número con $m 4^m$ que es el obtenido al emplear el algoritmo clásico de Cooley-Tukey para la Transformada rápida de Fourier, podemos observar que nos ahorramos 4^m multiplicaciones complejas, lo cual justifica la utilización de este procedimiento denominado Algoritmo del Factor Truncado en Base Cuatro.

COMPARACION ENTRE LOS TIEMPOS DE OPERACION DE LOS ALGORITMOS DE COOLEY-TUKEY Y DEL FACTOR TRUNCADO PARA ALGUNOS VALORES

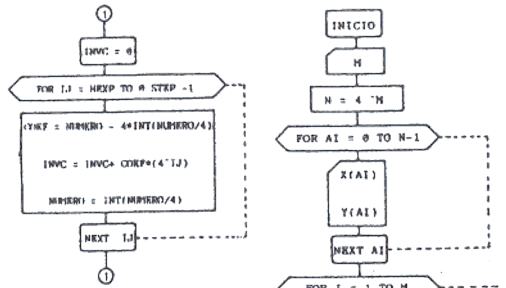
Al comparar el tiempo de operación entre estos dos algoritmos para los valores: $N = 4^m$, $m = 1, 2, 3, 4, 5, 6$

$x[n] = (n+1) + i(n+1)$ obtuvimos los siguientes resultados:

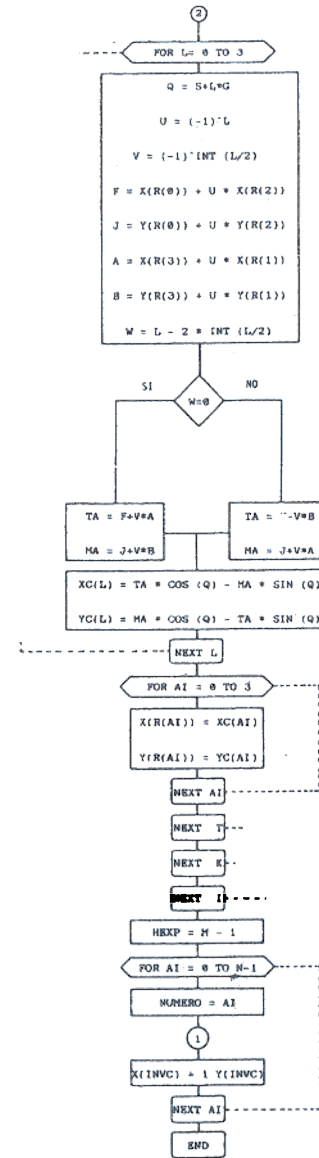
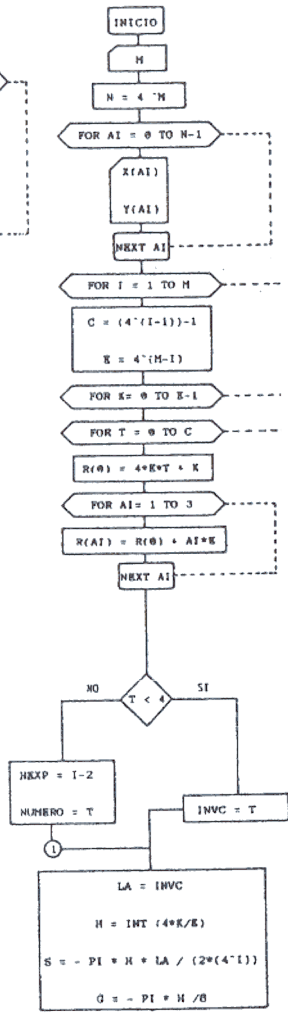
* Estamos notando la "parte de R", como INT(R) y el "inverso en base cuatro de R" como INV(R), en donde

si $R = \sum_{l=0}^t a_l 4^l$, $\text{INV}(R) = \sum_{l=0}^t a_l 4^{t-l}$

DIAGRAMA DE FLUJO PARA EL ALGORITMO DEL FACTOR TRUNCADO EN BASE CUATRO



SUBROUTINA PARA CALCULAR EL
INVERSO EN BASE CUATRO



Número de Datos		Tiempo empleado en sgs.	
N = 4 ^m	No.	Col-Tuk	Fact. trunc.
4 ¹	4	1.54	0.28
4 ²	16	3.24	1.32
4 ³	64	15.15	8.07
4 ⁴	256	86.95	43.33
4 ⁵	1024	489	223.66
4 ⁶	4096	2612.43	1094.44

Hay que tener en cuenta que en ambos casos el tiempo de operación no incluyó el ordenamiento final para la impresión.

Utilizamos un computador SAMSUNG SPC-6500 con coprocesador matemático 80287 y compilador GW-BASIC Versión 3.22. Creemos conveniente informar que también ensayamos con TURBO-BASIC Versión 1.0, la cual por ser tan rápida nos hacía perder precisión en la diferencia entre uno y otro algoritmo para los primeros datos; por tal razón la descartamos.

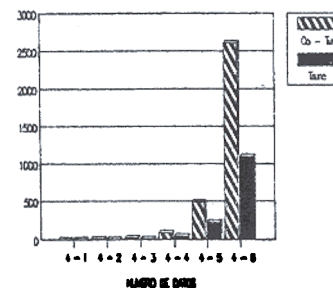
Las gráficas adjuntas nos ayudan a observar con mayor claridad las diferencias de tiempo entre uno y otro algoritmo.

CONCLUSIONES

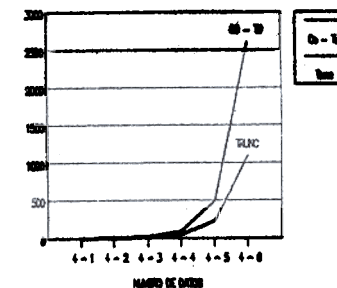
Existen algoritmos que permiten calcular la Transformada Discreta de Fourier con mayor rapidez y precisión que la F.F.T.; el más conocido es el denominado Transformada Rápida de Hartley, el cual sirve para calcular la Transformada Discreta de Hartley y a que las partes correspondientes a los valores pares e impares que toma dicha transformada son precisamente las partes real y menos imaginaria de la Transformada Discreta de Fourier [2].

El problema de calcular la Transformada Discreta de Fourier en la forma más rápida posible no está resuelto en su totalidad, como sí sucede en otras áreas de la matemática; (es el caso de la teoría de valuaciones euclidianas, en donde es posible construir con absoluta certeza la más rápida para cada dominio euclidiano en particular [5]), pero lo que hasta ahora se perfila en el horizonte es que este problema no debe prescindir de factores tales como: la forma en que realizamos las operaciones, la base sobre la cual trabajemos, la fórmula que utilizemos y por supuesto la velocidad de la máquina.

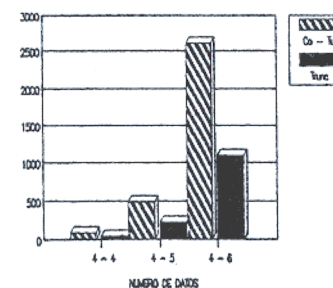
COMPARACION
C.T. - TRUNC



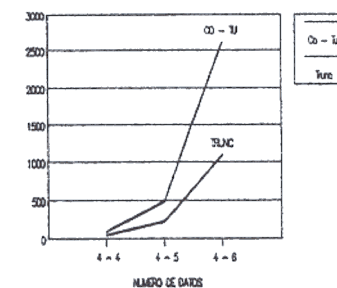
COMPARACION
C.T. - TRUNC



COMPARACION
C.T. - TRUNC



COMPARACION
C.T. - TRUNC



PROGRAMA EN LENGUAJE BASIC PARA CALCULAR EL ALGORITMO DEL FACTOR TRIENCO EN BASE 4

```

70 P1=3.14159265
80 INPUT "M=?:";M
90 M=4*INT(M/4)+1
100 FOR I=0 TO M-1
110 PRINT "COMPLEJO No. ";I+1
120 INPUT X(I)
130 INPUT Y(I)
140 NEXT I
150 FOR I=0 TO M-1
160 C=(I+1)*PI
170 S=C*(I+1)-1
180 C=C*(I+1)
190 FOR E=0 TO E-1
200 R1=I+1+I*E
210 R2=I+1+I*E+1
220 R3=I+1+I*E+2
230 R4=I+1+I*E+3
240 NEXT E
250 R=I+1+I*E+3
260 R=I+1+I*E+3
270 R=I+1+I*E+3
280 R=I+1+I*E+3
290 R=I+1+I*E+3
300 R=I+1+I*E+3
310 R=I+1+I*E+3
320 R=I+1+I*E+3
330 R=I+1+I*E+3
340 R=I+1+I*E+3
350 R=I+1+I*E+3
360 R=I+1+I*E+3
370 R=I+1+I*E+3
380 R=I+1+I*E+3
390 R=I+1+I*E+3
400 R=I+1+I*E+3
410 R=I+1+I*E+3
420 R=I+1+I*E+3
430 R=I+1+I*E+3
440 R=I+1+I*E+3
450 R=I+1+I*E+3
460 R=I+1+I*E+3
470 R=I+1+I*E+3
480 R=I+1+I*E+3
490 R=I+1+I*E+3
500 R=I+1+I*E+3
510 R=I+1+I*E+3
520 R=I+1+I*E+3
530 R=I+1+I*E+3
540 R=I+1+I*E+3
550 R=I+1+I*E+3
560 R=I+1+I*E+3
570 R=I+1+I*E+3
580 R=I+1+I*E+3
590 R=I+1+I*E+3
600 R=I+1+I*E+3
610 R=I+1+I*E+3
620 R=I+1+I*E+3
630 R=I+1+I*E+3
640 R=I+1+I*E+3
650 R=I+1+I*E+3
660 R=I+1+I*E+3
670 R=I+1+I*E+3
680 R=I+1+I*E+3
690 R=I+1+I*E+3
700 R=I+1+I*E+3
710 R=I+1+I*E+3
720 R=I+1+I*E+3
730 R=I+1+I*E+3
740 R=I+1+I*E+3
750 R=I+1+I*E+3

```

PROGRAMA EN LENGUAJE BASIC PARA CALCULAR LA TRANSFORMADA RAPIDA DE FOURIER MEDIANTE EL ALGORITMO DE COOLEY-TUKEY

```

70 P1=3.14159265
80 DIM H(2,000)
90 INPUT "M=?:";M
100 M=2*INT(M/2)+1
110 FOR E=0 TO E-1
120 PRINT "COMPLEJO No. ";E+1
130 INPUT X(E)
140 INPUT Y(E)
150 NEXT E
160 FOR I=0 TO M-1
170 R=I/2
180 R=INT(R)
190 IF I=0 THEN GOTO 210
200 R=I/2
210 R=INT(R)
220 S=I-R
230 GOTO 240
240 R=I/2
250 R=INT(R)
260 S=I-R
270 R=I/2
280 R=INT(R)
290 S=I-R
300 R=I/2
310 R=INT(R)
320 S=I-R
330 R=I/2
340 R=INT(R)
350 S=I-R
360 R=I/2
370 R=INT(R)
380 S=I-R
390 R=I/2
400 R=INT(R)
410 S=I-R
420 R=I/2
430 R=INT(R)
440 S=I-R
450 R=I/2
460 R=INT(R)
470 S=I-R
480 R=I/2
490 R=INT(R)
500 S=I-R
510 R=I/2
520 R=INT(R)
530 S=I-R
540 R=I/2
550 R=INT(R)
560 S=I-R
570 R=I/2
580 R=INT(R)
590 S=I-R
600 R=I/2
610 R=INT(R)
620 S=I-R
630 R=I/2
640 R=INT(R)
650 S=I-R
660 R=I/2
670 R=INT(R)
680 S=I-R
690 R=I/2
700 R=INT(R)
710 S=I-R
720 R=I/2
730 R=INT(R)
740 S=I-R
750 R=I/2

```

EJEMPLOS ILUSTRATIVOS

Para estos ejemplos hemos escogido como datos de entrada los siguientes valores:

DATO No.	VALOR
1.	1 + i 1
2	2 + i 2
3	3 + i 3
4	4 + i 4
5	5 + i 5
6	6 + i 6
7	7 + i 7
8	8 + i 8
9	9 + i 9
10	1 + i 1
11	2 + i 2
12	3 + i 3
13	4 + i 4
14	5 + i 5
15	6 + i 6
16	7 + i 7
17	8 + i 8
18	9 + i 9
19	1 + i 1
20	2 + i 2
21	3 + i 3
22	4 + i 4
23	5 + i 5
24	6 + i 6
25	7 + i 7
26	8 + i 8
27	9 + i 9
28	1 + i 1
29	2 + i 2
30	3 + i 3
31	4 + i 4
32	5 + i 5
33	6 + i 6
34	7 + i 7
35	8 + i 8
36	9 + i 9
37	1 + i 1
38	2 + i 2
39	3 + i 3
40	4 + i 4
41	5 + i 5
42	6 + i 6
43	7 + i 7
44	8 + i 8
45	9 + i 9
46	1 + i 1
47	2 + i 2
48	3 + i 3
49	4 + i 4
50	5 + i 5
51	6 + i 6
52	7 + i 7
53	8 + i 8
54	9 + i 9
55	1 + i 1
56	2 + i 2
57	3 + i 3
58	4 + i 4
59	5 + i 5
60	6 + i 6
61	7 + i 7
62	8 + i 8
63	9 + i 9
64	1 + i 1

RESULTADOS

ALGORITMO DE COOLY-TUCKER

CASO N = 4 (2 ^ 2)
 $Z(1) = 10 + i(10)$
 $Z(2) = -4.000001 + i(-8.106232E-05)$
 $Z(3) = -2 + i(-2)$
 $Z(4) = 8.106232E-05 + i(-3.999919)$

ALGORITMO DEL FACTOR TRUNCADO

CASO N = 4 (4 ^ 1)
 $Z(1) = 10 + i(10)$
 $Z(2) = -4 + i(0)$
 $Z(3) = -2 + i(-2)$
 $Z(4) = 0 + i(-4)$

ALGORITMO DE COOLY-TUCKER

CASO N = 16 (2 ^ 4)
 $Z(1) = 73 + i(73)$
 $Z(2) = -2.972365 + i(-13.02723)$
 $Z(3) = -18.31472 + i(20.31316)$
 $Z(4) = -6.503204 + i(-9.496473)$
 $Z(5) = -7.000324 + i(8.999676)$
 $Z(6) = -7.331784 + i(-8.688076)$
 $Z(7) = -2.314072 + i(4.312867)$
 $Z(8) = -7.800982 + i(-8.198693)$
 $Z(9) = 1 + i(1)$
 $Z(10) = -8.198956 + i(-7.80106)$
 $Z(11) = 4.314071 + i(-2.313605)$
 $Z(12) = -8.688270 + i(-7.331749)$
 $Z(13) = 9.000324 + i(-8.999676)$
 $Z(14) = -9.496734 + i(-6.503475)$
 $Z(15) = 20.31472 + i(-18.31224)$
 $Z(16) = -13.0277 + i(-2.973247)$

ALGORITMO DEL FACTOR TRUNCADO

CASO N = 16 (4 ^ 2)
 $Z(1) = 73 + i(73)$
 $Z(2) = -2.972659 + i(-13.02734)$
 $Z(3) = -18.31372 + i(20.31371)$
 $Z(4) = -6.503393 + i(-9.496606)$
 $Z(5) = -7 + i(0)$
 $Z(6) = -7.331822 + i(-8.688179)$
 $Z(7) = -2.313706 + i(4.313707)$
 $Z(8) = -7.801088 + i(-8.198912)$
 $Z(9) = 1 + i(1)$
 $Z(10) = -8.198913 + i(-7.801088)$
 $Z(11) = 4.313712 + i(-2.31371)$
 $Z(12) = -8.688179 + i(-7.331821)$
 $Z(13) = 9 + i(-7)$
 $Z(14) = -9.496606 + i(-6.503395)$
 $Z(15) = 20.31371 + i(-18.3137)$
 $Z(16) = -13.02734 + i(-2.972663)$

BIBLIOGRAFIA

- [1] BORWEIN, J.M. & BORWEIN, P.B. (1988). "Ramasujan y el número pi". Investigación y Ciencia. 139:72-80.
- [2] BRACEWELL, R.N. 1989. "La transformación de Fourier". Investigación y Ciencia. 135:56-64.
- [4] BRICHAM, E.O. The fast Fourier transform. Prentice-Hall, New Jersey, 1974:184-197.
- [5] Castro, I. Tepas de teoría de cuerpos, teoría de anillos y números algebraicos. Tomo I. Universidad Nacional de Colombia, Bogotá. 1986:297-310.
- [6] COOLEY, J.W. & TUKEY, J.W. "An algorithm for machine calculation of complex Fourier series" Math. Computation.

COMPLETAR EL CUADRO SIGUIENTE

Caso 8 = 64 (1 4)	1 (1) = 318 + i (1 289) 2 (1) = -4.31432 + i (-4.77723) 3 (1) = -4.70842 + i (-3.61448) 4 (1) = -5.46858 + i (-2.05212) 5 (1) = -6.13257 + i (-2.26145) 6 (1) = -6.68184 + i (-2.22575) 7 (1) = -7.04777 + i (-2.17192) 8 (1) = -7.25408 + i (-2.10686) 9 (1) = -7.34578 + i (-2.02582) 10 (1) = -7.35759 + i (-1.93189) 11 (1) = -7.28543 + i (-1.82794) 12 (1) = -7.05051 + i (-1.70814) 13 (1) = -6.68147 + i (-1.57585) 14 (1) = -6.19244 + i (-1.43157) 15 (1) = -5.60244 + i (-1.27834) 16 (1) = -5.04188 + i (-1.11622) 17 (1) = -4.54042 + i (-9.41623) 18 (1) = -4.12016 + i (-7.62148-94) 19 (1) = -3.78728 + i (-6.22365) 20 (1) = -3.52584 + i (-4.82954) 21 (1) = -3.33289 + i (-3.49281) 22 (1) = 2.34444 + i (-1.84020) 23 (1) = 1.07197 + i (-1.00020) 24 (1) = -1.58339 + i (-0.19185) 25 (1) = 0.56226 + i (0.10418) 26 (1) = 2.254 + i (0.03263) 27 (1) = 5.07426 + i (2.10257) 28 (1) = 8.01028 + i (5.08358-43) 29 (1) = 10.95255 + i (8.02143) 30 (1) = 13.89481 + i (10.95481) 31 (1) = 16.82513 + i (13.873194) 32 (1) = 19.74188 + i (16.81148) 33 (1) = 22.64021 + i (19.74188) 34 (1) = 25.51632 + i (22.64021) 35 (1) = 28.37420 + i (25.51632) 36 (1) = 31.21887 + i (28.37420) 37 (1) = 34.05431 + i (31.21887) 38 (1) = 36.87470 + i (34.05431) 39 (1) = 39.68314 + i (36.87470) 40 (1) = 42.47364 + i (39.68314) 41 (1) = 45.24923 + i (42.47364) 42 (1) = 48.01392 + i (45.24923) 43 (1) = 50.76072 + i (48.01392) 44 (1) = 53.49374 + i (50.76072) 45 (1) = 56.21600 + i (53.49374) 46 (1) = 58.93062 + i (56.21600) 47 (1) = 61.64063 + i (58.93062) 48 (1) = 64.34006 + i (61.64063) 49 (1) = 67.03294 + i (64.34006) 50 (1) = 69.71339 + i (67.03294) 51 (1) = 72.38454 + i (69.71339) 52 (1) = 75.04051 + i (72.38454) 53 (1) = 77.68531 + i (75.04051) 54 (1) = 80.32297 + i (77.68531) 55 (1) = 82.95753 + i (80.32297) 56 (1) = 85.58404 + i (82.95753) 57 (1) = 88.20655 + i (85.58404) 58 (1) = 90.81911 + i (88.20655) 59 (1) = 93.42378 + i (90.81911) 60 (1) = 96.02361 + i (93.42378) 61 (1) = 98.61266 + i (96.02361) 62 (1) = 101.19498 + i (98.61266) 63 (1) = 103.76374 + i (101.19498) 64 (1) = 106.32301 + i (103.76374)
---------------------	--

COMPLETAR EL CUADRO SIGUIENTE

Caso 9 = 64 (4 3)	1 (1) = 316 + i (1 285) 2 (1) = -4.31277 + i (-3.77732) 3 (1) = -4.70843 + i (-3.61449) 4 (1) = -5.46859 + i (-2.05213) 5 (1) = -6.13258 + i (-2.26146) 6 (1) = -6.68185 + i (-2.22576) 7 (1) = -7.04778 + i (-2.17193) 8 (1) = -7.25409 + i (-2.10687) 9 (1) = -7.34580 + i (-2.02583) 10 (1) = -7.35761 + i (-1.93190) 11 (1) = -7.28545 + i (-1.82795) 12 (1) = -7.05053 + i (-1.70815) 13 (1) = -6.68149 + i (-1.57586) 14 (1) = -6.19246 + i (-1.43158) 15 (1) = -5.60246 + i (-1.27835) 16 (1) = -5.04190 + i (-1.11623) 17 (1) = -4.54044 + i (-9.41624) 18 (1) = -4.12018 + i (-7.62149) 19 (1) = -3.78730 + i (-6.22366) 20 (1) = -3.52586 + i (-4.82955) 21 (1) = -3.33291 + i (-3.49282) 22 (1) = 2.34446 + i (-1.84021) 23 (1) = 1.07199 + i (-1.00021) 24 (1) = -1.58341 + i (-0.19186) 25 (1) = 0.56227 + i (0.10419) 26 (1) = 2.25401 + i (0.03264) 27 (1) = 5.07428 + i (2.10258) 28 (1) = 8.01030 + i (5.08359-43) 29 (1) = 10.95257 + i (8.02144) 30 (1) = 13.89483 + i (10.95483) 31 (1) = 16.82515 + i (13.87320) 32 (1) = 19.74190 + i (16.81149) 33 (1) = 22.64023 + i (19.74190) 34 (1) = 25.51634 + i (22.64023) 35 (1) = 28.37421 + i (25.51634) 36 (1) = 31.21889 + i (28.37421) 37 (1) = 34.05433 + i (31.21889) 38 (1) = 36.87472 + i (34.05433) 39 (1) = 39.68316 + i (36.87472) 40 (1) = 42.47367 + i (39.68316) 41 (1) = 45.24925 + i (42.47367) 42 (1) = 48.01394 + i (45.24925) 43 (1) = 50.76074 + i (48.01394) 44 (1) = 53.49376 + i (50.76074) 45 (1) = 56.21602 + i (53.49376) 46 (1) = 58.93064 + i (56.21602) 47 (1) = 61.64065 + i (58.93064) 48 (1) = 64.34008 + i (61.64065) 49 (1) = 67.03296 + i (64.34008) 50 (1) = 69.71341 + i (67.03296) 51 (1) = 72.38456 + i (69.71341) 52 (1) = 75.04053 + i (72.38456) 53 (1) = 77.68533 + i (75.04053) 54 (1) = 80.32299 + i (77.68533) 55 (1) = 82.95755 + i (80.32299) 56 (1) = 85.58406 + i (82.95755) 57 (1) = 88.20657 + i (85.58406) 58 (1) = 90.81913 + i (88.20657) 59 (1) = 93.42374 + i (90.81913) 60 (1) = 96.02357 + i (93.42374) 61 (1) = 98.61262 + i (96.02357) 62 (1) = 101.19494 + i (98.61262) 63 (1) = 103.76370 + i (101.19494) 64 (1) = 106.32297 + i (103.76370)
---------------------	--